

I. 緒言 先に土の等方硬化理論について断片的な報告を行った(土木学会第27回年次講演集及びその補足資料)。その後、実測値による多少の数値は得られたので、ここにその主要な基礎論を体系的にまとめる。なお、ここに新しい諸論は従来、Roscoe他にあり、正規圧近傍の上の挙動に關して報告された貴重資料の如く、近來、金屬塑性の分野で發展された等方硬化法則の援用により、これに對比し得る土の數理等方硬化理論としてまとめたのである。

主な記号 本論文においては応力、歪等の符号は伸張を正とし、歪等の変形に關する諸量の弾、塑性成分には大々、右肩にV, Pを付する。また、応力は全て向隙圧を主とし、大々有効応力の意味とする。 σ_{ij} : 応力, δ_{ij} : Kronecker's delta, $P = \frac{1}{3} \sigma_{ij} \delta_{ij}$, $G_{ij} = \sigma_{ij} - P \delta_{ij}$, $V = (\frac{1}{3} \sigma_{ij} \delta_{ij})^{\frac{1}{2}} = (2 J_2)^{\frac{1}{2}}$ (J_2 : 2次応力不変量), $S = (\frac{1}{3} \sigma_{ij} \delta_{ij} \sigma_{kl} \delta_{kl})^{\frac{1}{2}} = (3 J_3)^{\frac{1}{3}}$ (J_3 : 3次応力不変量), $t_{ij} = \frac{\partial J_3}{\partial \sigma_{ij}} = G_{ik} G_{kj} - \frac{1}{3} \sigma_{ij}$, $\eta = \frac{V}{P}$, $\sin 3\theta = -\sqrt{3} (\frac{V}{P})^3$, $u_{ij} = \frac{\partial \sin 3\theta}{\partial \sigma_{ij}} = -\frac{1}{3} (\frac{3 \sin 3\theta}{2} G_{ij} + \sqrt{3} t_{ij})$, E_{ij} : 歪, $v = E_{ij} \delta_{ij}$, $\epsilon_{ij} = \epsilon_{ij} - \frac{1}{3} v \delta_{ij}$, $d\epsilon_{ij}^e = (d\epsilon_{ij}^e d\epsilon_{ij}^e)^{\frac{1}{2}}$, $d\epsilon_v^e = (d\epsilon_{ij}^e d\epsilon_{ij}^e d\epsilon_{kl}^e)^{\frac{1}{2}}$, e : 向隙比, $V = 1 + e$ (体積比, specific volume).

II. 構成法則

(1) 硬化の要因について 土その他の粒子の集合体においては塑性変形は構成粒子の相互すべり、回転等の粒子の位置移動から生じると考えられる。また、これらの運動が妨げられることによって、硬化が進展すると考えられる。従って、相互すべり、回転等の粒子等の最大の要因は構成粒子がこれらの運動自身によってより密な(同一圧下で体積が小さい)状態へ移行する、即ち、塑性的な体積変化を生じて粒子運動が束縛されることであると思われる。更に一般には、このために、粒子表面粗度の増大、interlockingの増強、更には粒子破砕、電気化学的影響等による非回復的な状態変化も硬化の要因になると考えられる。また、これらが異方的に発達する。これらの複雑な硬化要因、異方性の配應は今後の究明に待つ。本論文においては塑性的な体積歪を硬化尺度として、上の塑性構成法則を導き出す。

(2) 構成法則設定に際しての仮定 a) Poorooshasb (Can. Géot., 1967)は塑性増分方向と応力増分方向の一致性を主張し、Lewin & Burland (Géot. 1970)はこれを否定している。これらの実測結果の差は前者が異方性の著しくない試料(粒子形状が球形に近い砂)に等方圧、軸圧あるいは用圧一定の排水線曲線試験を行ったを対象としたのに対し、後者が著しい異方性の発達した試料(異方性が発達し易い薄片状粒子からなるKaolin typeの試料に、1か所異方圧後、応力増分を与えた)を対象としたことに基くと思われる。従って、一般に金屬では大きな異方履歴を受け方向性を生じると負荷面(後述降伏面)にCorner(いわゆる尖角ではなく、曲率大なコブのようなもので、無直条件は解除されると思われる)が発達する(白鳥地, 日本機械学会論文集, 1967)。土においては、これと同様の現象が生じるとすれば、著しい異方履歴を受けた試料では、その負荷面のCorner近傍で応力増分を与え、従来の精度の実測では、みかけ上、塑性増分方向が唯一決定されない結果が得られると推察される。従って、Poorooshasb他のように異方性の発達し難い試料に、1か所Corner外の負荷面上で応力増分を与え、彼の主張するような結果が得られると思われる。以上の論拠に基き、本論文では滑り力半一負荷面**を仮定し、また、その面上、いずれの点においても、無直条件 $d\epsilon_{ij}^e = \lambda \frac{\partial f(\sigma_{ij})}{\partial \sigma_{ij}}$... (2.1) が成り立つと仮定する。ここで、 $f(\sigma_{ij})$ は負荷関数、 λ は正値のスカラー比例係数。b) 本論文では材料の等方性を前提として、 $f(\sigma_{ij})$ は応力不変量の関数であるが、更に負荷面は主応力空間における任意に選んで相似性を維持すると仮定する。従って、前節で述べた塑性体積歪を硬化尺度とすることを考慮して、負荷条件式 $f(\sigma_{ij}) - F(v) = 0$... (2.2) が成り立つこと、 $F(v)$ は v のパラメータとする硬化関数。また、 $f(\sigma_{ij})$ は応力に關する同次関数であるが、以下、これを1次に還元にする。なお、本仮定の可否については、直接、水を支持するRoscoe, Poorooshasb等の実測結果があるが、あくまで、本仮定下で導かれる構成法則がどの程度、土の實際挙動を説明し得るかによって判断されるべきである。

(3) 等方圧強に關する Terzaghi式に基く弾塑性体積歪の解析 式(2.2)を仮定する場合、金屬塑性においては単純引張、撎り試験等を実施して、硬化関数(パラメータは v の代わりに w)を決定するが、これらの試験においては異方性の発達を伴う。従って、(1)節で述べたように土等の粉粒状体は塑性的な体積歪によって硬化が進展するので、等方圧強試験により、異方性の発達の影響を伴わずに硬化関数を決定できる。本節では後節で構成法則を導出する準備として、土の等方圧強に対して広く認められている Terzaghi式に關して弾塑性体積歪の定義を明らかにしておく。なお、本式は干ばり飽和粘土に対して提案された式であるが、砂その他の粉粒状体に対しては広く成り立つと思われ、従って、(1)節には等方圧強試験にお

* 塑性変形が粒子の移動に基くものに対して、弾性変形は粒子自身の弾性変形によると思われる。また、土粒子の場合にはその組成が一般に非線形弾性挙動を示す岩石等であることが、土の弾性挙動の非線形性を起因していると考えられる。
** Roscoe & Burland (Engng. Plasticity, 1968)は假等方性1次滑り負荷面による偏歪を、実測値を下回る量を修正すべく、P線に平行な他の負荷面(3次元的にMises type)に存在し得ることを保証しているが、硬化関数等に關する考慮がなされておらず、無直線挙動正であると思われる。

ける圧力と体積比の関係を示す初期状態 $O(P=P_0, V=V_0)$ から加圧相と加圧相と異なり $(P=P_f, V=V_f)$ で降伏し更に
 圧縮を進行せよと降伏圧力が上昇(硬化)して正規圧縮線が n となる。此、異なり n を降伏後、再度降伏と異なり n で再
 り降伏し、その後、降伏荷重を忘れて正規圧縮線 n を示す。以上の等方圧縮特性は材料定数表示すると図-1(b)の正規
 正規圧縮線 n はほぼ直線と示され、更に γ, μ, ν 等の弾性(降伏、再度降伏)係数は互いに平行直線と1近
 似される。Tergazhi の提案以来、一般に認められている。以下においては、これらの特性を認めて体積歪の弾塑性成
 分の表示式を明らかにする。図-1(b)の初期弾性線 O は $V=V_0 - K \ln(\frac{P}{P_0}) \dots (2.3)$ と与えられる。ここで、 K は
 弾性線の勾配を規定するもので、材料の初期状態 (P_0, V_0) 及び材料組成による材料定数 $(\frac{C_{11}P_0}{E_0})$ とみられる。式(2.3)
 より初期降伏条件において $V_f = V_0 - K \ln(\frac{P_f}{P_0})$ とする。本式を考慮して図-1(b)の正規圧縮線は $V = V_0 - K \ln(\frac{P}{P_0}) - \lambda$
 $\ln(\frac{P}{P_f}) \dots (2.4)$ と与えられる。ここで、 λ は正規圧縮線の勾配を規定するもので、 K と同様材料定数とみられる。体積比 V
 の弾性及び塑性増分は式(2.3)及び(2.4)より、 $dV^e = -K \frac{dP}{P}$, $dV^p = dV - dV^e = -(\lambda - K) \frac{dP}{P} \dots (2.5)$ と与えられる。
 これは周知の通りである。圧力が P なる任意異変 n における弾性及び塑性体積歪増分は式(2.5)より、 $dV^e = dV^r$
 $/ [V_0 + \int_{P_0}^P dV^e + \int_{P_0}^P dV^p] = -K \frac{dP}{P} / [V_0 - (\lambda - K) \ln(\frac{P}{P_0}) - K \ln(\frac{P}{P_0})]$, $dV^p = dV^r / [V_0 + \int_{P_0}^P dV^e]$
 $= -(\lambda - K) \frac{dP}{P} \dots (2.6)$ と与えられる。ここで、 P_n は異変 n を通る弾性線が正規圧縮線と交わる異変 n における P 値である。異
 変 n の各成分は式(2.5)または(2.6)より、 $v^r = \int_{P_0}^{P_n} dV^r = \ln \left[\frac{(V_0 + \int_{P_0}^{P_n} dV^e + \int_{P_0}^{P_n} dV^p)}{(V_0 + \int_{P_0}^0 dV^e)} \right] = \ln \left[\frac{V_0 - (\lambda - K) \ln(\frac{P_n}{P_0}) - K \ln(\frac{P_n}{P_0})}{V_0 - (\lambda - K) \ln(\frac{P_0}{P_0}) - K \ln(\frac{P_0}{P_0})} \right]$
 $= \ln \left[\frac{V_0 - (\lambda - K) \ln(\frac{P_n}{P_0}) - K \ln(\frac{P_n}{P_0})}{V_0 - (\lambda - K) \ln(\frac{P_0}{P_0}) - K \ln(\frac{P_0}{P_0})} \right]$, $v^p = \int_{P_n}^P dV^p = \ln \left[\frac{(V_0 + \int_{P_0}^{P_n} dV^e) / V_0}{(V_0 + \int_{P_0}^P dV^e) / V_0} \right] = \ln \left[\frac{V_0 - (\lambda - K) \ln(\frac{P_n}{P_0}) - K \ln(\frac{P_n}{P_0})}{V_0 - (\lambda - K) \ln(\frac{P}{P_0}) - K \ln(\frac{P}{P_0})} \right]$
 $\dots (2.7)$ と与えられる。式(2.7)より、Tergazhi 式に従う土の圧力-体積歪図は、図-1(c)のようになる。

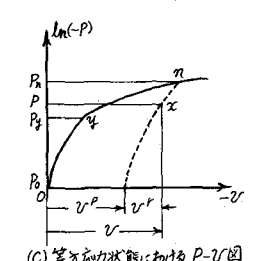
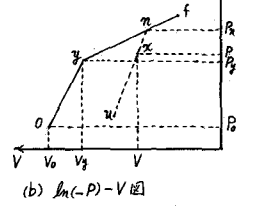
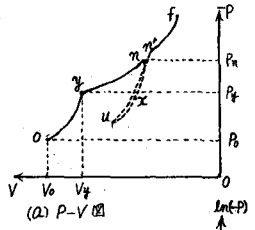


図-1 土の圧縮試験図

(3) 構成方程式 a) 負荷条件式

前節に述べたように、等方圧縮試験によって硬化関数を決定する
 とすれば、負荷条件式(2.2)は $f(\delta_{ij}) - P_n(v^r) = 0 \dots (2.8)$ とする。なお、負荷関数 $f(\delta_{ij})$ は円筒座標表示
 より $f(P, \nu, \sin^2 \theta)$ で表わされるが等方圧縮 $(\delta_{ij} = 0)$ で $f = P$ であること及び ν 力に依存する同次元数(1次)であることとを考慮すると $f(\delta_{ij}) = P \cdot g(\nu, \sin^2 \theta)$
 $\dots (2.9)$ と表わしうる。ここで、 g は ν 及び $\sin^2 \theta$ の関数であり、等方圧縮 $(\nu = 0)$ と $g = 1$ を満たす。式(2.9)より、式(2.8)は $P \cdot g(\nu, \sin^2 \theta) - P_n(v^r) =$
 $0 \dots (2.10)$ とする。b) 塑性歪増分-応力式 式(2.9)より $df - \frac{dP_n}{dP} dP = 0$ が得られるが本式に式(2.1)及び $dV^p = \Lambda \frac{dP}{P}$ の関係を考慮すると
 $\Lambda = df / (\frac{dP_n}{dP} \frac{dP}{P}) \dots (2.11)$ とする。地方式(2.6)から $\frac{dP_n}{dP} = \frac{\lambda - K}{V_0 - (\lambda - K) \ln(\frac{P_n}{P_0})} P_n \dots (2.12)$ であるので、これを式(2.1)を用いて、塑性
 歪増分-応力式 $dE_{ij}^p = \frac{\lambda - K}{V_0 - (\lambda - K) \ln(\frac{P_n}{P_0})} \frac{df}{f} \frac{1}{\partial f / \partial \delta_{ij}} \frac{\partial f}{\partial \delta_{ij}} \dots (2.13)$ を得る。 V_0, λ, K 及び P_0 が既知で、更に $f(\delta_{ij})$ の関数形が決定され
 れば、 δ_{ij} を成分として dE_{ij}^p が求まる。なお、塑性歪の体積歪 v 及びその増分は式(2.7)及び(2.8)から $dV^p = -\frac{\lambda - K}{V_0 - (\lambda - K) \ln(\frac{P}{P_0})} \frac{dP}{P}$, $v^p = \ln \left[1 - (\lambda - K) \ln \left(\frac{P}{P_0} \right) / V_0 \right] \dots (2.14)$ と与えられる。また、塑性歪の体積増分は式(2.5)において、 P を f で置きかえて、 $dV^p = -(\lambda - K) \frac{df}{f} \dots (2.15)$ と与えられる。

(4) 弾性歪の考慮について

式(2.7)からわかるように土は一般に非線形弾性体である。しかし、土の弾性挙動に因る充分な説明がなされておらず持
 に偏見が作用する必要が論議は現れない。偏見を ν を考慮した弾性歪については実験資料の充分な説明がなされた時英と理論に組み込まれる
 とし、地方、等方力による弾性歪成分については Tergazhi 式を認めて異変 n 以前節までの諸量を一貫させる意味で、式(2.3)の弾性体積歪に
 基づく弾性歪成分は $E_{ij}^e = -\frac{1}{3} dV^e \delta_{ij} = -\frac{1}{3} K \frac{dP}{P} \delta_{ij} / [V_0 - (\lambda - K) \ln(\frac{P}{P_0}) - K \ln(\frac{P}{P_0})]$,
 $E_{ij}^e = \frac{1}{3} v^r \delta_{ij} = \frac{1}{3} \delta_{ij} \ln \left[\frac{V_0 - (\lambda - K) \ln(\frac{P}{P_0}) - K \ln(\frac{P}{P_0})}{V_0 - (\lambda - K) \ln(\frac{P_0}{P_0}) - K \ln(\frac{P_0}{P_0})} \right] \dots (2.16)$ と与えられる。

(5) 歪(増分)-応力式の結論

前節までに導いた歪(増分)-応力式を以下にまとめる。式(2.7)、(2.13)及び(2.16)より

$$\text{歪増分-応力式 } dE_{ij}^p = dE_{ij}^e + dE_{ij}^p = -\frac{1}{3} \frac{K \frac{dP}{P}}{V_0 - (\lambda - K) \ln(\frac{P}{P_0}) - K \ln(\frac{P}{P_0})} \delta_{ij} - \frac{(\lambda - K) \frac{df}{f}}{V_0 - (\lambda - K) \ln(\frac{P}{P_0})} \frac{1}{\partial f / \partial \delta_{ij}} \frac{\partial f}{\partial \delta_{ij}} \dots (2.17)$$

$$\text{体積歪-応力式 } v = v^r + v^p = \ln \left[1 - \frac{K \ln(\frac{P}{P_0})}{V_0 - (\lambda - K) \ln(\frac{P}{P_0})} \right] + \ln \left[1 - \frac{(\lambda - K) \ln(\frac{P}{P_0})}{V_0} \right] = \ln \left[1 - \frac{(\lambda - K) \ln(\frac{P}{P_0}) + K \ln(\frac{P}{P_0})}{V_0} \right] \dots (2.18)$$

脚注 *、**の説明は後頁に記す。

(6) 3軸試験状態における構成式

以上、一般3次元応力状態における構成法則を明らかにし、 λ, κ の特別の場合として、従来、3軸試験に基づく実験結果が良く一致している。本試験状態における構成式を与えておく。まず式(2.9)より、 $\frac{d\epsilon}{d\tau} = \frac{d\epsilon^p}{d\tau} + \frac{d\epsilon^e}{d\tau}$ 及び $\frac{\partial \epsilon}{\partial P} = \frac{\partial \epsilon^p}{\partial P} + \frac{\partial \epsilon^e}{\partial P}$ ……(2.19)の関係式を得る。ここで、3軸試験状態においては $\sin 3\theta$ は一定(圧縮時+1, 伸張時-1)であるから $\frac{\partial \epsilon}{\partial P} = \frac{\partial \epsilon^p}{\partial P}$ ……(2.20) となる。式(2.19)の第1式は $\frac{d\epsilon}{d\tau} = \frac{d\epsilon^p}{d\tau} + \bar{\sigma} d\tau$ ……(2.21) となる。ここに、 $\bar{\sigma} = \frac{\partial \epsilon^e}{\partial P}$ ……(2.22) である。以上の式(2.19~21)を式(2.18)に用いると本状態における塑性増分応力 $d\epsilon_{ij}^p = -\frac{\lambda - \kappa}{V_0 - (\lambda - \kappa) \ln(\frac{P_0}{P})} \frac{1}{P} dP$ ……(2.23) を得る。また、本状態においては2次の塑性増分応力は $d\epsilon^p = \lambda \frac{d\epsilon^p}{d\tau} = \lambda \frac{d\epsilon^p}{d\tau} = -\frac{\lambda - \kappa}{V_0 - (\lambda - \kappa) \ln(\frac{P_0}{P})} \frac{1}{P} dP$ ……(2.24) を与えられる。なお、以上の様に本状態の歪の算定は γ をパラメータとして行う都合があるが、弾性歪及び体積歪については式(2.17)及び(2.18)の第1項において $\tau = P_0$ の置換を行うと算定が簡明化される。以下においては数種の代表的な3軸試験における構成式を与えておく。

(a) 非排水試験 (2)節で述べた Terzaghi の圧縮式から $(\frac{P_0}{P})^{\lambda} = (\frac{P_0}{P})^{\kappa}$ の関係が得られる。本式に $\tau = P_0$ の関係と考慮すると非排水試験における応力経路 $P = P_0 \bar{\sigma}^{\frac{\lambda - \kappa}{\lambda}}$ ……(2.25) を得る。また、本式から得られる関係 $\frac{d\epsilon^p}{d\tau} = (\frac{\lambda - \kappa}{\lambda}) \bar{\sigma} d\tau$ 及び式(2.21)に考慮すると $\frac{d\epsilon}{d\tau} = \frac{\lambda - \kappa}{\lambda} \bar{\sigma} d\tau$ となり、地方、式(2.25)から $\frac{d\epsilon}{d\tau} = \bar{\sigma}^{\frac{\lambda - \kappa}{\lambda}}$ なる関係が導かれるので、これを式(2.24)に用いると $d\epsilon^p = -\frac{\lambda - \kappa}{V_0 - (\lambda - \kappa) \ln(\frac{P_0}{P})} \frac{1}{P} dP$ となり、但し、 $\Gamma = \frac{\lambda - \kappa}{\lambda}$ ……(2.26) を得る。

b) 排水試験 3軸排水試験において、1軸1方向の軸圧 (σ_a)、一定周圧 (σ_r) の平均応力 $\bar{\sigma}$ の試験における $d\epsilon^p$, E_a (軸歪) 及び E_r (周歪) の構成式を表記しておく。なお、体積歪 v は下表の P 値式(2.18)に用いると容易に求められるので表記しない。なお、下表において $\Omega = (\frac{\partial \epsilon^p}{\partial P}) / (\frac{\partial \epsilon^e}{\partial P}) = \frac{\bar{\sigma}}{1 - \Gamma \bar{\sigma}}$ である。

排水試験条件	$P = \frac{\sigma}{\Gamma}$	$\frac{d\epsilon}{d\tau} = (\frac{\partial \epsilon^p}{\partial P} + \bar{\sigma}) d\tau$	$d\epsilon^p = \frac{\partial \epsilon^p}{\partial P} dP = \frac{\partial \epsilon^p}{\partial P} d\sigma$	E_a (軸歪)	E_r (周歪)	
3軸圧縮	軸圧一定 $\sigma_a = \text{const.}$	$\frac{\sqrt{\sigma}}{\sqrt{\sigma} - \Gamma \sigma_a}$	$(\frac{2}{\sqrt{\sigma} - \Gamma \sigma_a} + \bar{\sigma}) d\tau$	$-\frac{\lambda - \kappa}{V_0 - (\lambda - \kappa) \ln(\frac{V_0}{\sqrt{\sigma} - \Gamma \sigma_a})} \Omega \frac{d\sigma}{\sigma}$	$-\sqrt{\frac{2}{3}} d\epsilon^p + v$	$\frac{1}{6} \sqrt{\frac{2}{3}} d\epsilon^p + \frac{1}{3} v$
	周圧一定 $\sigma_r = \text{const.}$	$\frac{\sqrt{\sigma}}{\sqrt{\sigma} + \Gamma \sigma_r}$	$(\frac{1}{\sqrt{\sigma} + \Gamma \sigma_r} + \bar{\sigma}) d\tau$	$-\frac{\lambda - \kappa}{V_0 - (\lambda - \kappa) \ln(\frac{V_0}{\sqrt{\sigma} + \Gamma \sigma_r})} \Omega \frac{d\sigma}{\sigma}$		
	平均応力一定 $P = \text{const.}$	P_0	$\bar{\sigma} d\tau$	$-\frac{\lambda - \kappa}{V_0 - (\lambda - \kappa) \ln P_0} \Omega \bar{\sigma} d\tau$		
3軸伸張	軸圧一定 $\sigma_a = \text{const.}$	$\frac{\sqrt{\sigma}}{\sqrt{\sigma} + \Gamma \sigma_a}$	$(\frac{2}{\sqrt{\sigma} + \Gamma \sigma_a} + \bar{\sigma}) d\tau$	$-\frac{\lambda - \kappa}{V_0 - (\lambda - \kappa) \ln(\frac{V_0}{\sqrt{\sigma} + \Gamma \sigma_a})} \Omega \frac{d\sigma}{\sigma}$	$\sqrt{\frac{2}{3}} d\epsilon^p + v$	$-\frac{1}{6} \sqrt{\frac{2}{3}} d\epsilon^p + \frac{1}{3} v$
	周圧一定 $\sigma_r = \text{const.}$	$\frac{\sqrt{\sigma}}{\sqrt{\sigma} - \Gamma \sigma_r}$	$(\frac{1}{\sqrt{\sigma} - \Gamma \sigma_r} + \bar{\sigma}) d\tau$	$-\frac{\lambda - \kappa}{V_0 - (\lambda - \kappa) \ln(\frac{V_0}{\sqrt{\sigma} - \Gamma \sigma_r})} \Omega \frac{d\sigma}{\sigma}$		
	平均応力一定 $P = \text{const.}$	P_0	$\bar{\sigma} d\tau$	$-\frac{\lambda - \kappa}{V_0 - (\lambda - \kappa) \ln P_0} \Omega \bar{\sigma} d\tau$		

III. 負荷関数について

前章において、土の一般構成法則を明らかにし、本章では土の応力-時間関係として取扱った負荷関数の具体的な圧縮関数について考察する。

(1) 負荷関数の設定条件 (a) 等正規圧縮の状態、 $\gamma = 0$ の関係数は $\frac{d\epsilon^p}{d\tau} = \sqrt{[(\frac{\partial \epsilon^p}{\partial P})^2 + (\frac{\partial \epsilon^p}{\partial \sigma} \cos 3\theta)^2]} = \sqrt{[\frac{\partial \epsilon^p}{\partial P}]^2 + (\frac{\partial \epsilon^p}{\partial \sigma} \cos 3\theta)^2} = 0$ ……(3.1) を満たさなければならない。*** b) Roscoe 他は土が充分大の偏歪を受けた後には一定応力下で体積変化を伴った形状変化のみが進行することを見出し、Critical State (以下、C.S. と略記する) と名付けている。従って、C.S. においては $\frac{d\epsilon^p}{d\tau} = \frac{\partial \epsilon^p}{\partial P} = \bar{\sigma} - \gamma \bar{\sigma} = 0$ ……(3.2) を満たさなければならない。更に、Roscoe 他は Henkel, Parry 等の3軸試験結果から、C.S. における応力状態は形式的に粘着項を除去した Coulomb-Mohr 則 $|\frac{\sigma_a - \sigma_r}{\sigma_a + \sigma_r}| = \beta$ ……(3.3) が近似されることを見出している。ここに σ_a, σ_r は最大、最小主応力、 β は材料定数である。なお、この関係条件を満足する3次元応力状態への拡張式 (C.S. Surface) は前の結論(土論集, 1972)で述べたように、凸面性を満たすものとして $\gamma = -\beta K a^{-\frac{1}{2}}$, $K a = G_a - H a \sin 3\theta$, $G_a = \frac{1}{\sqrt{3}} (\beta^2 + \gamma^2 + 3\beta^2 \gamma)$, $H a = \frac{1}{\sqrt{3}} \beta (\beta^2 + \gamma^2)$ ……(3.4)、比較的凹面性の程度が低く Simple なものとして $\gamma = -2\sqrt{3} \beta K b^{-1}$, $K b = 3 - \beta \sin 3\theta$ ……(3.5) 等が与えられる。***

(2) 負荷関数 現在、負荷関数設定に当たって、考慮し得る条件は前節で述べた負荷面の両極限状態に関する条件のみで、その中間域に関しては何ら明確な条件を規定していない状態である。従って、負荷関数として無数の関数形が与えられる。前節の条件(a), b) を満たし、次第に示すように粘性土に関する Walker, Parry 等の実験値にある程度、適合しうる関数として $f = P \{ 1 + a (\frac{\gamma}{M})^m + \frac{a^{-1}}{2} (\frac{\gamma}{M})^n \}$ ……(3.6) を与えておく。ここに M は C.S. における γ の値

* Roscoe 他は土の現時の飽和度は $dV^r = dV^p/V = -K(dP/P)/V$, $dV^e = dV^e/V = -(\lambda - \kappa)(dP/P)/V$ と定式化している。これらは自然(対数)歪の概念に基づくものではなく、後者が行っているように $V = V_0(\text{const.})$ とする場合、有限歪においては λ, κ の誤差を生じる。更に、歪の算定には面体収縮集積を伴うものはならない。上に定義した式(2.9)は自然歪の定義に厳密であると共に、煩雑な計算を要しない簡明な形を与えている。

** 負荷基準は次の通りである。塑性負荷時 $d\epsilon_{ij}^p > 0, d\tau > 0, \tau = P_0$; 中立負荷時 $d\epsilon_{ij}^p = d\tau = 0, \tau = P_0$; 除荷の瞬時 $d\epsilon_{ij}^p = 0, d\tau < 0, \tau < P_0$ 。

*** 式(3.1)については結論に記した投稿参照。なお、等正規圧縮状態で負荷面が充分に滑らかであると仮定できない。本状態から偏歪成りによる応力増分を与え、偏歪増分が失われることと見られる(例として、前出の Poorooshasb 他による実験値参照)。また、このような負荷面が認められる際には、負荷関数として式(3.1)に修正しても(等正規圧縮状態については別途考慮して)、Simple な関数と仮定する方が得策な場合があると思われる。*** C.S. Surface 自体は負荷面ではなく、凸面性が保証される必要はない。

で、 $\sin 3\theta$ の関数、従って $M = M(\sin 3\theta)$ ……(3.7)である。従い、 α は以下に述べるように一般にMの関数であると思われる。さて、C.S.におけるP値を P_2 とおけば、Henkel, Parry, 柴田 軽部等の実測値(3軸非排水圧縮試験の結果から式(2.25)の計算)等から得られた同一負荷面上の P_2 と P_1 の比は $\frac{P_2}{P_1}$ は一定ではないと思われる。従って式(3.6)より $\lambda = \frac{3}{2} + \frac{\alpha}{2}$ であるが、 $\alpha = \alpha M^2$ (材料定数)……(3.8)を仮定すれば式(3.6)は $f = P \left\{ 1 + \alpha \gamma^2 + \frac{1}{2} \left(\frac{\alpha}{\beta} - \frac{1}{\beta} \right) \gamma^3 \right\}$ ……(3.9)となる。ここでM値の算式として式(3.5)を採用すれば、 $f = p \left[1 + \alpha \gamma^2 + \frac{1}{2} \left\{ 1 - \frac{\alpha}{2\beta} K_0 + \left(\frac{K_0}{2\beta} \right)^2 \right\} \gamma^3 \right]$ ……(3.10)なる負荷関数を得る。本式に基づく塑性増分応力式は $d\epsilon_{ij}^p = \frac{1}{3} \left\{ 1 - \alpha \gamma^2 - \gamma^3 K_0 (\alpha - K_0) \right\} \delta_{ij} + \left\{ 2\alpha + \frac{3}{2} \gamma K (\alpha - K^2) \frac{\delta_{ij}}{\beta} + \frac{P}{4.18} \gamma^3 (3K^2 - \alpha) \delta_{ij} \right\} d\epsilon_{ij}$ ……(3.11)と与えられる。

IV. 実測値との比較 紙張の關係上、十分な余裕を以て得られた塑性法則により推定される歪(ここでは $\alpha=1$ とした)を3軸試験の実測歪及びRoscoe & Burland, Calladine (Geot., 1971)の所論による算定歪と比較してみる。ここでは λ 及び $d\epsilon_{ij}^p$ の式に $\gamma = \sqrt{\frac{2}{3}} E_p$ 及び $E_p = \sqrt{\frac{2}{3}} d\epsilon_{ij}^p$ を用いる。図-2及び3には3軸圧縮、伸張試験との比較を示しているが本論による推定歪は比較的良好である。多少のズレは α を更に適切に選ぶことにより修正し得ると思われる。Roscoe地の所論による推定歪は彼等自身認めているようにかなり過小算出する傾向があるが、Calladine について同様のことがある。

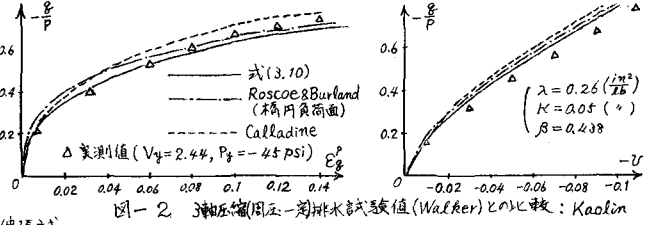


図-2 3軸圧縮(同一)非排水試験値(Walker)との比較: Kaolin

図-4には3軸状態における負荷面及び非排水試験応力経路の無次元表示を示す。非排水応力経路の実測値の示す圧縮側についてのみ、本論による応力経路は実測経路と大差は見られない。伸張側については実測値との比較はないが、Roscoe地の場合はC.S.において前節の条件b)に抵触する異相問題であると思われる。また、Calladineの所論によれば伸張の非排水応力経路が圧縮のそれより外側であるが、Henkel, Parry, 柴田 軽部等の実測結果からは、一般にこのようなことはあり得ないと思われる。これはCalladineの所論が2次元でしかなく縮命であるため、彼は伸張試験との比較を行っていないが、実測歪よりなる過小算出を認む。

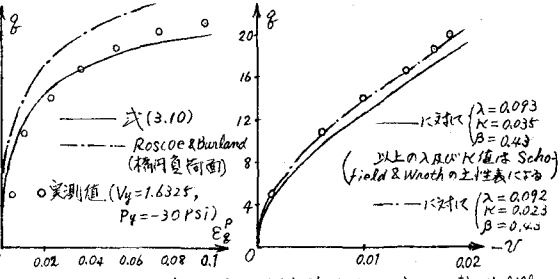


図-3 3軸伸張(軸圧一定)排水試験値(Parry)との比較: Weald Clay

結言 以上、紙張の關係上、詳細に至っては述べ得ないが、土の等方硬化法則を体系的に紹介した。なお、II, III章における一般論は主としてのみならず、ある種の粉粒状体に対しては同様の所論が適用し得ると思われる。IV章における負荷関数又は米村博士に関する数式実験者の実測値に適合する単純な関数として導き出されたその何れも力学的必然性を有するものではない。例として、砂に対しては、むしろ $f = P \left\{ 1 - c \gamma + \left(\frac{c}{\beta} \right) \gamma^2 \right\}$ (M: C.S.における171値)とてCを同様にVの関数とするとPorroshash等の実測値によく適合すると思われる。負荷関数については3軸圧縮のみならず、一般3次元応力下の多くの実測値への適用が望まれる。なお、ここに紹介した塑性法則はあくまで、塑性体積歪を硬化尺度とする等方性の前提下にあるもので、一方向等圧硬化やメカニクス、異方性の発達等について、今後、研究を進めたいと思つてゐる。

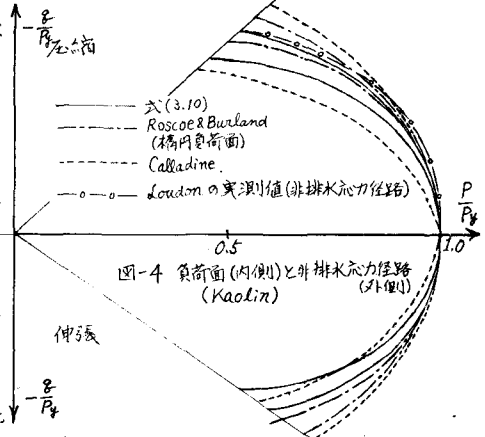


図-4 負荷面(内側)と非排水応力経路(Kaolin)

注釈—Calladineの報告について—ここに、明らかにその所論と全く異なる見方としてIVで触れられ、Calladineの報告がある。これは以前、Batdorfie により提案された Slip theory に基づくものと解される。現在の塑性力学の前提であり、本論文でも採用している潜在硬化を認める所論に対して、Slip theory こそを認めない。次に伸張が可能な、物体内の無次元面が独立に硬化するという考えである。一見、異方性の考慮が容易にみられるように思われる。しかし、金属においては多くの試験の未結晶相との干渉作用の無視という点に關する彼等自身の反論論文(1956)が示される。従って、塑性性。従って、CalladineはLewin & Burland等の主張に、塑性増分方向の応力増分方向の依存性を考慮すべく、Slip theory を採用し、と察せられるが、彼の所論によれば、Lewin地の実測は、強い方向依存性の表現を示さうである。これはSlip theory が等圧負荷面に鋭利な Corner を形成することによると思われる。筆者の私見として、I(2)に述べたように、潜在硬化が進展し、異方性から従って(角)の Corner の発達を考慮してゆくのが妥当なように思われる。

* $\beta > 0.375$ では C.S. Surface は凹面となるが、見値が伸張状態に近づくに従って大なる歪の負荷面の凸面性は保持される。